

## (2) 曲線薄肉円柱の有限変位問題における非線形偏微分方程式の解法

秋田大学 ○ 齋木 征三  
秋田大学 緑農 和徳

### 1. 考え方

薄肉円柱の曲げ、ねじれおよび横倒の座屈、そして座屈後の有限変位問題と数理弹性学的に説明する基礎となるのは三次元弾性体における非線形のひずみ-変位関係式と応力のつり合い式に構理論の仮定、すなわち横断面形不变と人門ひずみに関するオイラー・ベルヌーイの仮定を適用して得られる変位場である。この時、ひずみ-変位関係式のすべての非線形項を考慮してこれらの仮定を適用すると、断面内の任意点の変位に関する一連の非線形連立偏微分方程式が得られ、これが解かれると断面内の任意点の変位は、任意に選んだ部材軸線の変位と断面のねじれ角など表示され、変位場が定まる。しかししながら今までのところ軸力と一軸モーメントの曲げを受ける直線的場合(Elastica問題)に厳密な変位場が得られるとは限らない<sup>1)</sup>。

座屈現象は、ある荷重状態に達した時、まき断面がその断面内で急激に変位、回転するとして特徴的であるから、ひずみ-変位関係式の非線形項がまきの断面に直交方向、つまり部材軸方向の変位の微係数の二次項を無視して得られる変位場を用ひる。古典的分周荷重問題と含む一般的な座屈支配方程式が得られる<sup>2)</sup>。

有限変位問題ではひずみ-変位関係式のすべての非線形を考慮しなければならないが、上述のように厳密な変位場が得られる場合は限られない。そこで薄肉円柱内の任意点の有限変位運動と構理論の仮定に基づいて幾何学的に考察し、ベクトル・テンソル解析と用ひて変位場を定めることが行われていふ<sup>3)</sup>。ところがこれらの変位場も遂にひずみ-変位関係式に代入すると構理論の仮定を厳密に満たすことができない。これは有限変位のひずみ-変位関係式の複雑性に起因すると言えられる。

ここで構理論の仮定から得られる変位に関する非線形連立偏微分方程式が、非線形項に仮想の微小なパラメータを乗ずることにより復動法が適用可能となることを示し、復動法によく非線形解析の近似解とする高次の近似解を順次求め、有限変位解析の基礎としての変位場と応力場を示す。

### 2. 座標と記号

Fig. 1 に示すように円筒座標系を用ひる。P は任意点  $P(x, y)$  を通る母線の曲率半径、R は断面に固着以此に直交座標系 ( $x, y, z$ ) の原点 O の曲率半径である。任意点 P の  $x, y, z$  軸方向の変位を以此で  $u, v, w$  とする。ひずみ-変位関係式は

$$\epsilon_z = \frac{\partial u}{\partial s} + \frac{1}{2} \left\{ \left( \frac{\partial u}{\partial s} \right)^2 + \left( \frac{\partial v}{\partial s} \right)^2 + \left( \frac{\partial w}{\partial s} \right)^2 \right\} \quad (1.a)$$

$$\epsilon_p = \frac{\partial v}{\partial p} + \frac{1}{2} \left\{ \left( \frac{\partial u}{\partial p} \right)^2 + \left( \frac{\partial v}{\partial p} \right)^2 + \left( \frac{\partial w}{\partial p} \right)^2 \right\} \quad (1.b)$$

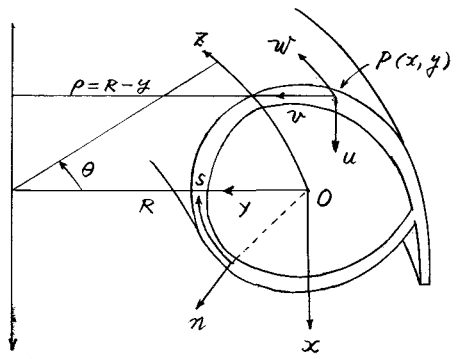


Fig. 1

$$\epsilon_{\theta} = \frac{R}{\rho} \left( \frac{\partial w}{\partial z} - \frac{v}{R} \right) + \frac{1}{2} \frac{R^2}{\rho^2} \left\{ \left( \frac{\partial u}{\partial z} \right)^2 + \left( \frac{\partial v}{\partial z} + \frac{w}{R} \right)^2 + \left( \frac{\partial w}{\partial z} - \frac{v}{R} \right)^2 \right\} \quad (1.c)$$

$$Y_{ps} = \frac{\partial v}{\partial s} + \frac{\partial u}{\partial p} + \left( \frac{\partial u}{\partial s} \frac{\partial u}{\partial p} + \frac{\partial v}{\partial s} \frac{\partial v}{\partial p} + \frac{\partial w}{\partial s} \frac{\partial w}{\partial p} \right) \quad (1.d)$$

$$Y_{po} = \rho \frac{\partial}{\partial p} \left( \frac{w}{\rho} \right) + \frac{R}{\rho} \frac{\partial v}{\partial z} + \frac{R}{\rho} \left\{ \frac{\partial u}{\partial p} \frac{\partial u}{\partial z} + \frac{\partial v}{\partial p} \left( \frac{\partial v}{\partial z} + \frac{w}{R} \right) + \frac{\partial w}{\partial p} \left( \frac{\partial w}{\partial z} - \frac{v}{R} \right) \right\} \quad (1.e)$$

$$Y_{os} = \frac{R}{\rho} \frac{\partial u}{\partial z} + \frac{\partial w}{\partial s} + \frac{R}{\rho} \left\{ \frac{\partial u}{\partial z} \frac{\partial u}{\partial s} + \frac{\partial v}{\partial s} \left( \frac{\partial v}{\partial z} + \frac{w}{R} \right) + \frac{\partial w}{\partial s} \left( \frac{\partial w}{\partial z} - \frac{v}{R} \right) \right\} \quad (1.f)$$

ここで  $\partial z = R \partial \theta$  である。後の便宜のために断面内の薄肉中心線に沿う S 座標と、これに直交する n 座標を導入する。Fig. 2 における座標 S の方向余弦と

$$l = \cos(S, x) = \sin \beta, \quad m = \cos(S, y) = -\cos \beta \quad (2)$$

と定義すると、点  $P(x, y)$  の S, n 軸方向の変位  $\xi, \eta$  は

$$\xi = l u + m v, \quad \eta = m u - l v \quad (3)$$

である。薄肉中心線上の点の座標を  $(x^*, y^*)$  とし、この点を通る母線の曲率半径  $\rho^*$  とするとき  $(x, y)$  および  $\rho$  との関係は

$$x = x^* + m \cdot n, \quad y = y^* - l \cdot n, \quad \rho = (r_2 + n) \cdot l = R - y, \quad \rho^* = r_2 \cdot l = R - y^* \quad (4)$$

薄肉中心線上に沿うせん断ひずみを  $\gamma_{se}$ 、肉厚方向のせん断ひずみを  $\gamma_{no}$  とするとき

$$\gamma_{se} = l \cdot \gamma_{os} + m \gamma_{po}, \quad \gamma_{no} = m \gamma_{os} - l \gamma_{po} \quad (5)$$

式 (1.e), (1.f) 及び式 (5) に代入し、座標変換

$$\frac{\partial}{\partial z} = \frac{\partial}{\partial x} = \frac{l}{1+n/R} \frac{\partial}{\partial s} + m \frac{\partial}{\partial n}, \quad \frac{\partial}{\partial p} = \frac{\partial}{\partial y} = \frac{m}{1+n/R} \frac{\partial}{\partial s} - l \frac{\partial}{\partial n} \quad (6)$$

を用いて

$$Y_{se} = \frac{R}{\rho} \left( \frac{\partial \eta}{\partial z} - \frac{w}{R} l \right) + \frac{\partial w}{\partial n} + \frac{R}{\rho} \left\{ \frac{\partial \xi}{\partial n} \left( \frac{\partial \xi}{\partial z} + \frac{w}{R} m \right) + \frac{\partial \eta}{\partial n} \left( \frac{\partial \eta}{\partial z} - \frac{w}{R} l \right) + \frac{\partial w}{\partial z} \left( \frac{\partial w}{\partial z} - \frac{v}{R} \right) \right\} \quad (7.a)$$

$$Y_{se} = \frac{R}{\rho} \left( \frac{\partial \xi}{\partial z} + \frac{w}{R} m \right) + \frac{1}{1+n/R} \frac{\partial w}{\partial s} + \frac{1}{1+n/R} \frac{R}{\rho} \left\{ \left( \frac{\partial \xi}{\partial s} + \frac{\eta}{n} \right) \left( \frac{\partial \xi}{\partial z} + \frac{w}{R} m \right) \right. \\ \left. + \left( \frac{\partial \eta}{\partial s} - \frac{\xi}{n} \right) \left( \frac{\partial \eta}{\partial z} - \frac{w}{R} l \right) + \frac{\partial w}{\partial s} \left( \frac{\partial w}{\partial z} - \frac{v}{R} \right) \right\} \quad (7.b)$$

これは薄肉回転シェルのせん断ひずみ-変位関係式と同一のものである。

### 3. 種理論の仮定に基づく非線形偏微分方程式の擾動法による解

#### (1) 擰動法

種理論の仮定は (i) 積断面形は不变である。ひずみで表わすと

$$\epsilon_p = \epsilon_s = Y_{ps} = 0 \quad (8)$$

(ii) 薄肉であるから肉厚方向のせん断ひずみ  $\gamma_{no}$  は無視できる。 (iii) 薄肉中心面上平筋の肉内ひずみ  $\gamma_{se}$  のうち、直応力  $\sigma$  と重ね合った状態にあるせん断応力によるせん断ひずみ

は小さく無視できる。これらをひずみで表わすと  $t$  を板厚として

$$Y_{so}^* = 0, \quad \rho^{*2} T_{so}^* t = \text{一定} \equiv R^2 \gamma \quad (9.a, b)$$

ただしせん断応力  $T_{so} = G Y_{so}$  の板厚方向の変化を直線で近似した場合であり、\*は薄肉中央面の量であることを示す。 $T_{so}^* = G Y_{so}^*$  と式 (9.b) より

$$Y_{so}^* = \frac{R^2}{G \rho^{*2} t} \cdot \gamma \quad (10)$$

ひずみは 1 にくらべて十分小さいとするとき、ひずみ-変位関係式 (1) と (T) の右辺の 2 次項は、線形項の二乗よりも 2 次程度オーダーの高い微小量であるから、これら 2 次項に仮想のパラメータ  $\mu$  を乗じると、式 (8), 式 (9.a) より  $\partial p = \partial y$ ,  $\partial s = \partial x$  を考慮して

$$\frac{\partial u}{\partial x} + \frac{\mu}{2} \left\{ \left( \frac{\partial u}{\partial x} \right)^2 + \left( \frac{\partial v}{\partial x} \right)^2 + \left( \frac{\partial w}{\partial x} \right)^2 \right\} = 0, \quad \frac{\partial v}{\partial y} + \frac{\mu}{2} \left\{ \left( \frac{\partial u}{\partial y} \right)^2 + \left( \frac{\partial v}{\partial y} \right)^2 + \left( \frac{\partial w}{\partial y} \right)^2 \right\} = 0$$

$$\frac{\partial w}{\partial z} + \frac{\partial u}{\partial y} + \mu \left( \frac{\partial u}{\partial x} \frac{\partial u}{\partial y} + \frac{\partial v}{\partial x} \frac{\partial v}{\partial y} + \frac{\partial w}{\partial x} \frac{\partial w}{\partial y} \right) = 0 \quad (11.a \sim c)$$

$$\frac{\partial w}{\partial n} + \frac{R}{\rho} \left( \frac{\partial \eta}{\partial z} - \frac{w}{R} l \right) + \mu \frac{R}{\rho} \left\{ \frac{\partial \xi}{\partial n} \left( \frac{\partial \xi}{\partial z} + \frac{w}{R} m \right) + \frac{\partial \eta}{\partial n} \left( \frac{\partial \eta}{\partial z} - \frac{w}{R} l \right) + \frac{\partial w}{\partial n} \left( \frac{\partial w}{\partial z} - \frac{v}{R} \right) \right\} = 0 \quad (11.d)$$

となる。 $\mu$  は 0 (線形) か 1 (非線形) であるが、 $0 \leq \mu \leq 1$  の範囲で連続的に変化する微小なパラメーターと仮想するのである。すると擾動法によれば断面内の任意点の変位は  $\mu$  の Taylor 級数展開

$$\begin{aligned} u &= u^{(0)} + \mu u^{(1)} + \mu^2 u^{(2)} + \dots \\ v &= v^{(0)} + \mu v^{(1)} + \mu^2 v^{(2)} + \dots \\ w &= w^{(0)} + \mu w^{(1)} + \mu^2 w^{(2)} + \dots \end{aligned} \quad \left. \right\} \quad (12)$$

の形で表わされる。ここで  $u^{(i)}$ ,  $v^{(i)}$ ,  $w^{(i)}$  は  $x$ ,  $y$ ,  $z$  の関数である。変位  $\xi$ ,  $\eta$  も同様に  
 $\xi = \xi^{(0)} + \mu \xi^{(1)} + \mu^2 \xi^{(2)} + \dots$   
 $\eta = \eta^{(0)} + \mu \eta^{(1)} + \mu^2 \eta^{(2)} + \dots$  } (13)

薄肉中央面の変位は、式 (12), (13) の両辺の各項に指標 \* を付けて表わす。例えば

$$w^* = w^{*(0)} + \mu w^{*(1)} + \mu^2 w^{*(2)} + \dots \quad (14)$$

などである。

薄肉中央面のせん断ひずみ  $Y_{so}^*$  は、 $Y_{so}$  の定義式 (7.b) で  $n=0$  とし、右辺の  $\xi$ ,  $\eta$ ,  $v$  やび  $w$  を表わせた  $\xi^*$ ,  $\eta^*$ ,  $v^*$  やび  $w^*$  とおいたものである。したがって式 (14) から式 (10) の  $Y_{so}^*$  は  $\mu$  の Taylor 級数展開

$$Y_{so}^* = \frac{R^2}{G \rho^{*2} t} \left( \gamma^{(0)} + \mu \gamma^{(1)} + \mu^2 \gamma^{(2)} + \dots \right) \quad (15)$$

の形で表わさねばならない。ここで  $\gamma^{(n)}$  は定数である。式 (7.b) で  $n=0$  とおき、右辺の変位に指標 \* を付ける、2 次項にパラメータ  $\mu$  を乗じて式に導入すると

$$\frac{\partial w^*}{\partial s} + \frac{R}{\rho^*} \left( \frac{\partial \xi^*}{\partial z} + \frac{w^*}{R} m \right) + \mu \frac{R}{\rho^*} \left\{ \left( \frac{\partial \xi^*}{\partial s} + \frac{\eta^*}{l} \right) \left( \frac{\partial \xi^*}{\partial z} + \frac{w^*}{R} m \right) + \left( \frac{\partial \eta^*}{\partial s} - \frac{\xi^*}{l} \right) \left( \frac{\partial \eta^*}{\partial z} - \frac{w^*}{R} l \right) \right\}$$

$$+ \frac{\partial w^*}{\partial s} \left( \frac{\partial w^*}{\partial z} - \frac{v^*}{R} \right) \} = \frac{R^2}{G p^{*2} t} ( f^{(0)} + \mu f^{(1)} + \mu^2 f^{(2)} + \dots ) \quad (16)$$

$(x, y)$  座標の原点  $O$  の  $u, v, w$  の値をそれぞれ  $u_0, v_0, w_0$  とすると、微分方程式 (11), (16) 及び境界条件

$$x = y = 0 \quad z = u = u_0, \quad v = v_0, \quad w = w_0 \quad (17)$$

より解くといい。原点  $O$  が薄肉中心線上に位置する場合、 $S$  座標の原点と  $O$  を Fig. 1 に示すように板厚  $t=0$  の板組の薄板で結ぶ<sup>3)</sup>。式 (12), (13), (14) 及び式 (11), (16) に入し、 $\mu$  の各べき乗比較可視化  $\mu^0$  の係数から

$$\frac{\partial U_{(0)}}{\partial y} = 0, \quad \frac{\partial U_{(0)}}{\partial x} = 0, \quad \frac{\partial V_{(0)}}{\partial x} + \frac{\partial U_{(0)}}{\partial y} = 0 \quad (18.a \sim c)$$

$$\frac{\partial W_{(0)}}{\partial n} + \frac{R}{\rho} \left( \frac{\partial \eta_{(0)}}{\partial z} - \frac{w_{(0)}}{R} \ell \right) = 0, \quad \frac{\partial W_{(0)}^*}{\partial s} + \frac{R}{\rho^*} \left( \frac{\partial \xi_{(0)}^*}{\partial z} + \frac{w_{(0)}^*}{R} m \right) = \frac{R^2}{G p^{*2} t} f^{(0)} \quad (18.d, e)$$

$\mu^1$  の係数から

$$\frac{\partial U_{(1)}}{\partial z} + \frac{1}{2} \left\{ \left( \frac{\partial U_{(0)}}{\partial x} \right)^2 + \left( \frac{\partial U_{(0)}}{\partial y} \right)^2 + \left( \frac{\partial W_{(0)}}{\partial x} \right)^2 \right\} = 0, \quad \frac{\partial V_{(1)}}{\partial y} + \frac{1}{2} \left\{ \left( \frac{\partial U_{(0)}}{\partial z} \right)^2 + \left( \frac{\partial V_{(0)}}{\partial x} \right)^2 + \left( \frac{\partial W_{(0)}}{\partial y} \right)^2 \right\} = 0$$

$$\frac{\partial U_{(1)}}{\partial y} + \frac{\partial V_{(1)}}{\partial x} + \left( \frac{\partial U_{(0)}}{\partial x} \frac{\partial U_{(0)}}{\partial y} + \frac{\partial V_{(0)}}{\partial x} \frac{\partial V_{(0)}}{\partial y} + \frac{\partial W_{(0)}}{\partial x} \frac{\partial W_{(0)}}{\partial y} \right) = 0 \quad (19.a \sim c)$$

$$\frac{\partial W_{(1)}}{\partial n} + \frac{R}{\rho} \left( \frac{\partial \eta_{(1)}}{\partial z} - \frac{w_{(1)}}{R} \ell \right) + \frac{R}{\rho} \left\{ \frac{\partial \xi_{(1)}}{\partial n} \left( \frac{\partial \xi_{(0)}}{\partial z} + \frac{w_{(0)}^*}{R} m \right) + \frac{\partial \eta_{(1)}}{\partial n} \left( \frac{\partial \eta_{(0)}}{\partial z} - \frac{w_{(0)}}{R} \ell \right) + \frac{\partial W_{(1)}}{\partial n} \left( \frac{\partial V_{(0)}}{\partial z} - \frac{v_{(0)}}{R} \right) \right\} = 0$$

$$\frac{\partial W_{(1)}}{\partial s} + \frac{R}{\rho^*} \left( \frac{\partial \xi_{(1)}^*}{\partial z} + \frac{w_{(1)}^*}{R} m \right) + \frac{R}{\rho^*} \left\{ \left( \frac{\partial \xi_{(0)}^*}{\partial s} + \frac{\eta_{(0)}^*}{r_i} \right) \left( \frac{\partial \xi_{(0)}^*}{\partial z} + \frac{w_{(0)}^*}{R} m \right) + \left( \frac{\partial \eta_{(0)}^*}{\partial s} - \frac{\xi_{(0)}^*}{r_i} \right) \left( \frac{\partial \eta_{(0)}^*}{\partial z} - \frac{w_{(0)}}{R} \ell \right) + \frac{\partial W_{(1)}^*}{\partial s} \left( \frac{\partial V_{(0)}}{\partial z} - \frac{v_{(0)}^*}{R} \right) \right\} = \frac{R^2}{G p^{*2} t} f^{(1)} \quad (19.d, e)$$

$\mu^2$  の係数から

$$\frac{\partial U_{(2)}}{\partial z} + \frac{\partial U_{(1)}}{\partial x} + \frac{\partial V_{(1)}}{\partial z} + \frac{\partial V_{(1)}}{\partial x} = 0, \quad \frac{\partial V_{(2)}}{\partial y} + \frac{\partial U_{(1)}}{\partial z} + \frac{\partial U_{(1)}}{\partial x} + \frac{\partial W_{(1)}}{\partial z} + \frac{\partial W_{(1)}}{\partial x} = 0 \quad (20.a, b)$$

$$\frac{\partial U_{(2)}}{\partial x} + \frac{\partial U_{(1)}}{\partial y} + \left( \frac{\partial U_{(1)}}{\partial z} \frac{\partial U_{(1)}}{\partial y} + \frac{\partial U_{(1)}}{\partial z} \frac{\partial U_{(1)}}{\partial x} \right) + \left( \frac{\partial V_{(1)}}{\partial z} \frac{\partial V_{(1)}}{\partial y} + \frac{\partial V_{(1)}}{\partial z} \frac{\partial V_{(1)}}{\partial x} \right) + \left( \frac{\partial W_{(1)}}{\partial z} \frac{\partial W_{(1)}}{\partial y} + \frac{\partial W_{(1)}}{\partial z} \frac{\partial W_{(1)}}{\partial x} \right) = 0 \quad (20.c)$$

$$\begin{aligned} & \frac{\partial W_{(2)}}{\partial n} + \frac{R}{\rho} \left( \frac{\partial \eta_{(2)}}{\partial z} - \frac{w_{(2)}}{R} \ell \right) + \frac{R}{\rho} \left\{ \frac{\partial \xi_{(2)}}{\partial n} \left( \frac{\partial \xi_{(1)}}{\partial z} + \frac{w_{(1)}^*}{R} m \right) + \frac{\partial \xi_{(2)}}{\partial n} \left( \frac{\partial \xi_{(0)}}{\partial z} + \frac{w_{(0)}^*}{R} m \right) + \frac{\partial \eta_{(2)}}{\partial n} \left( \frac{\partial \eta_{(1)}}{\partial z} - \frac{w_{(1)}}{R} \ell \right) \right. \\ & \left. + \frac{\partial \eta_{(2)}}{\partial n} \left( \frac{\partial \eta_{(1)}}{\partial z} - \frac{w_{(1)}}{R} \ell \right) + \frac{\partial W_{(2)}}{\partial n} \left( \frac{\partial V_{(1)}}{\partial z} - \frac{v_{(1)}}{R} \right) + \frac{\partial W_{(2)}}{\partial n} \left( \frac{\partial V_{(0)}}{\partial z} - \frac{v_{(0)}^*}{R} \right) \right\} = 0 \end{aligned} \quad (20.d)$$

$$\begin{aligned} & \frac{\partial W_{(2)}^*}{\partial s} + \frac{R}{\rho^*} \left( \frac{\partial \xi_{(2)}^*}{\partial z} + \frac{w_{(2)}^*}{R} m \right) + \frac{R}{\rho^*} \left\{ \left( \frac{\partial \xi_{(1)}^*}{\partial s} + \frac{\eta_{(1)}^*}{r_i} \right) \left( \frac{\partial \xi_{(1)}^*}{\partial z} + \frac{w_{(1)}^*}{R} m \right) + \left( \frac{\partial \xi_{(0)}^*}{\partial s} + \frac{\eta_{(0)}^*}{r_i} \right) \left( \frac{\partial \xi_{(0)}^*}{\partial z} + \frac{w_{(0)}^*}{R} m \right) \right. \\ & \left. + \left( \frac{\partial \eta_{(1)}^*}{\partial s} - \frac{\xi_{(1)}^*}{r_i} \right) \left( \frac{\partial \eta_{(1)}^*}{\partial z} - \frac{w_{(1)}^*}{R} \ell \right) + \left( \frac{\partial \eta_{(0)}^*}{\partial s} - \frac{\xi_{(0)}^*}{r_i} \right) \left( \frac{\partial \eta_{(0)}^*}{\partial z} - \frac{w_{(0)}}{R} \ell \right) + \frac{\partial W_{(2)}^*}{\partial s} \left( \frac{\partial V_{(1)}}{\partial z} - \frac{v_{(1)}^*}{R} \right) + \frac{\partial W_{(2)}^*}{\partial s} \left( \frac{\partial V_{(0)}}{\partial z} - \frac{v_{(0)}^*}{R} \right) \right\} \end{aligned}$$

$$= \frac{R^2}{G p^{*2} t} f^{(2)} \quad (20.e)$$

式(18)は線形理論であるから既知であり、これを式(19)に代入して  $U_{(1)}, V_{(1)}, \dots$  について解く。次にこれら既知の  $U_{(1)}, V_{(1)}, \dots, U_{(n)}, V_{(n)}, \dots$  を式(20)に代入して  $U_{(n)}, V_{(n)}, \dots$  について解く。以下順次高次の解が得られる。復動方程式(19), (20)は走数係数の1階連立線形微分方程式であり、何ら特異点を含まないから、べき級数(12), (13)は正解に収束することが期待される。

### (2) 第1近似解

式(18)は上述のように線形問題であり、境界条件(17)のもとでの解は

$$U_{(0)} = U_0 - y\varphi, \quad V_{(0)} = V_0 + x\varphi, \quad W_{(0)} = W_0 - x\phi_x - y\phi_y - \omega\psi_z \quad (21)$$

ここで  $\varphi$  は Fig. 1 で時計回りと正とする断面のねじれ角、 $\phi_x, \phi_y$  はそれぞれ  $x, y$  軸周りの接線回転角であり、 $\psi_z$  は  $z$  軸周りのねじれ角であり、初期軸線の変位で表わすと

$$\phi_x = \frac{dV_0}{dx} + \frac{\omega_0}{R}, \quad \phi_y = \frac{dU_0}{dy}, \quad \psi_z = \frac{d\varphi}{dz} - \frac{1}{R} \frac{dU_0}{dz} \quad (22)$$

$\omega$  はそり関数である。

$$\omega(s, n) = \frac{\rho}{R} \left( \int_0^s \frac{R^2}{\rho^{*2}} r_s ds - \tilde{g}_{(0)} \int_0^s \frac{R^3}{\rho^{*3}} t ds - \int_0^s \frac{R^2}{\rho^{*2}} r_s^* ds \right) + \frac{R}{\rho^{*k}} k_n \cdot n \quad (23)$$

ここで

$$\begin{aligned} r_s &= mx - ly, \quad r_s^* = mx^* - ly, \quad r_n = -lx - my \\ \tilde{g}_{(0)} &= \left. \begin{cases} \int_0^s \frac{R^2}{\rho^{*2}} r_s^* ds \\ \int_0^s \frac{R^3}{\rho^{*3}} t ds \end{cases} \right\}, \quad g_{(0)} = G \cdot \tilde{g}_{(0)} \cdot \psi_z \end{aligned} \quad (24)$$

\* は断面中心線に関する量であり式(4)より  $r_s = r_s^* + n$ ,  $r_n = r_n^*$  である。また式(21)のカーボ内内の第3項の  $S_0$  は原点  $O$  の  $s$  座標の値である。用意断面または開区間では  $\tilde{g}_{(0)} = \tilde{g}_{(0)}' = 0$  である。したがって原点のでは

$$\omega(s, n) = \omega(s_0, 0) = 0 \quad (25)$$

となる。

### (3) 第2近似解

式(21)の  $W_{(0)}$  でねじれによる断面のねじれ角を表す項  $(-\omega\psi_z)$  は、 $W_{(0)}$  を原点  $O$  のまわりの Taylor 級数展開したと解釈したときの高次項に相当する。そこで復動式(19)の2次項における

$$W_{(0)} \approx W_0 - x\phi_y - y\phi_x \quad (26)$$

と近似できる。式(21.a), (21.b)と式(19.a), (19.b)に代入して  $U_{(1)}, V_{(1)}$  について解く

$$U_{(1)} = -\frac{1}{2}(\varphi^2 + \phi_x^2)x + C_1, \quad V_{(1)} = -\frac{1}{2}(\varphi^2 + \phi_x^2)y + C_2 \quad (27)$$

を得る。 $C_1, C_2$  は積分定数である。これらが  $y, z$  および  $x, y$  の関数である。これを式(19.c)に代入すると

$$\frac{\partial C_2}{\partial x} + \frac{\partial C_1}{\partial y} = -\phi_x \phi_y \quad (28)$$

$C_1, C_2$  を求めたための方程式はこの式だけである。しかも右辺はオフィックス  $x$  を  $y$ ,  $y$  を  $x$  に入れ換えると同型である、つまり  $x, y$  について対称である。よって上式の解として

$$\frac{\partial C_2}{\partial x} = \frac{\partial C_1}{\partial y} = -\frac{1}{2} \phi_x \phi_y \quad (29)$$

とするのが妥当である。式(29)によって得られる変動場が適当な否かは幾何学的考察によつて確かめられるべきである。このことは、 $\alpha$  近似解つまり線形解では式(28)に相当する方程式は  $\partial C_2 / \partial x + \partial C_1 / \partial y = 0$  となり、これは  $\alpha$  上走数として  $C_2 = \alpha \cdot x$ ,  $C_1 = -\alpha \cdot y$  (積分定数は除く) が得られ、この  $\alpha$  が断面のねじれ角  $\varphi$  であることは幾何学的に説明されることが類似している。式(29)より

$$C_1 = -\frac{1}{2} \phi_x \phi_y \cdot y, \quad C_2 = -\frac{1}{2} \phi_x \phi_y \cdot x \quad (30)$$

これを式(29)に代入すると  $U_{(0)}$ ,  $V_{(0)}$  は次れど

$$U_{(0)} = -\frac{1}{2} (\varphi^2 + \phi_y^2) x - \frac{1}{2} \phi_x \phi_y \cdot y, \quad V_{(0)} = -\frac{1}{2} (\varphi^2 + \phi_x^2) y - \frac{1}{2} \phi_x \phi_y \cdot x \quad (31)$$

なお式(30)では積分走数は 0 である。これは境界条件(17)より

$$U(x=0, y=0) = (U_{(0)} + \mu U_{(1)})_{y=0}^{x=0} = U_0, \quad V(x=0, y=0) = (V_{(0)} + \mu V_{(1)})_{y=0}^{x=0} = V_0 \quad (32)$$

だからである。すなはち原点  $x = y = 0$  では  $U_{(0)}$ ,  $V_{(0)}$  は 0 でなければならぬ。  $W_{(0)}$  はつづけも同様であり、復動解に対する境界条件は以上をまとめ

$$x = y = 0 \quad \text{で} \quad U_{(m)}, V_{(m)}, W_{(m)} = 0 \quad (33)$$

ただし  $m \geq 1$  である。

次に式(12), (13) 及び(3)に代入して  $\mu$  の俠の係数を比較すると  $\mu^0$  から

$$\begin{aligned} \bar{U}_{(0)} &= l \cdot U_{(0)} + m V_{(0)} = l \cdot U_0 + m V_0 + r_s \cdot \varphi \\ \bar{V}_{(0)} &= m \cdot U_{(0)} - l \cdot V_{(0)} = m \cdot U_0 - l \cdot V_0 + r_m \cdot \varphi \end{aligned} \quad \} \quad (34)$$

$\mu^1$  の俠の係数から

$$\begin{aligned} \bar{U}_{(1)} &= l U_{(1)} + m V_{(1)} = \frac{1}{2} (\varphi^2 r_n - \phi_x^2 m y - \phi_y^2 l x) - \frac{1}{2} \phi_x \phi_y (m x + l y) \\ \bar{V}_{(1)} &= m U_{(1)} - l V_{(1)} = \frac{1}{2} (-\varphi^2 r_s + \phi_x^2 l y - \phi_y^2 m x) + \frac{1}{2} \phi_x \phi_y (l x - m y) \end{aligned} \quad \} \quad (35)$$

を得る。式(21), (34), (35) 及び(19.d)に代入し、式(21), (34), (35)を  $x, y, r_n, r_s$  をそれぞれ薄肉中心線上の量  $x^*, y^*, r_n^*, r_s^*$  と置き換えたものが式(19.e)に代入する。結果だけを示すと式(19.d), (19.e)はそれぞれ

$$\frac{\partial w_0}{\partial n} - \frac{l}{\rho} w_0 + \frac{R}{\rho} \left\{ \varepsilon_z (l \phi_x - m \phi_y) - \frac{1}{2} (\phi'_x \phi_y - \phi_x \phi'_y) r_n^* + \varphi \phi_y l + \varphi \phi_x (m + \frac{r_n^*}{R}) \right\} = 0 \quad (36.a)$$

$$\frac{\partial w_0^*}{\partial S} + \frac{m}{\rho^*} w_0^* + \frac{R}{\rho^*} \left\{ -\varepsilon_z (l \phi_y + m \phi_x) - \frac{1}{2} (\phi'_x \phi_y - \phi_x \phi'_y) r_s^* - \varphi \phi_y m + \varphi \phi_x (l + \frac{r_s^*}{R}) \right\} = \frac{R^2}{G \rho^{*2} l} g_0 \quad (36.b)$$

となる。 $z = z^*$

$$\varepsilon_z = \frac{dw_0}{dz} - \frac{w_0}{R} \quad (37)$$

である。方向余弦  $l, m$  は式(2)を  $\rho, \rho^*$  おき  $y, y^*$  を用いて

$$m = \frac{\partial x}{\partial n} = \frac{\rho^2}{R} \frac{\partial}{\partial n} \left( \frac{x}{\rho} \right) - \frac{r_n}{R}, \quad l = -\frac{\partial y}{\partial n} = -\frac{\rho^2}{R} \frac{\partial}{\partial n} \left( \frac{y}{\rho} \right) \quad (38)$$

又は

$$m = \frac{\partial y^*}{\partial S} = \frac{\rho^{*2}}{R} \frac{\partial}{\partial S} \left( \frac{y^*}{\rho^*} \right), \quad l = \frac{\partial x^*}{\partial S} = \frac{\rho^{*2}}{R} \frac{\partial}{\partial S} \left( \frac{x^*}{\rho^*} \right) - \frac{r_s^*}{R} \quad (39)$$

と書かれ。また

$$\frac{\partial w_0}{\partial n} - \frac{l}{\rho} w_0 = \rho \frac{\partial}{\partial n} \left( \frac{w_0}{\rho} \right) , \quad \frac{\partial w_0^*}{\partial s} + \frac{m}{\rho^*} w_0^* = \rho^* \frac{\partial}{\partial s} \left( \frac{w_0^*}{\rho^*} \right) \quad (40.a, b)$$

式 (38), (40.a) を式 (36.a) に, 式 (39), (40.b) を式 (36.b) に代入すると

$$\left. \begin{aligned} \frac{\partial}{\partial n} \left( \frac{w_0}{\rho} \right) + \frac{\partial}{\partial n} \left( \frac{x}{\rho} \right) \phi_x^{(0)} + \frac{\partial}{\partial n} \left( \frac{y}{\rho} \right) \phi_y^{(0)} + \frac{R r_n}{\rho^2} \psi_z^{(0)} &= 0 \\ \frac{\partial}{\partial s} \left( \frac{w_0^*}{\rho^*} \right) + \frac{\partial}{\partial s} \left( \frac{x^*}{\rho^*} \right) \phi_x^{(0)} + \frac{\partial}{\partial s} \left( \frac{y^*}{\rho^*} \right) \phi_y^{(0)} + \frac{R r_n^*}{\rho^{*2}} \psi_z^{(0)} &= \frac{R^2}{G \rho^{*3} t} g^{(0)} \end{aligned} \right\} \quad (41.a, b)$$

ここで簡単のために次のようにおいた。

$$\left. \begin{aligned} \phi_x^{(0)} &= -\varphi \phi_y - \varepsilon_z \phi_x , \quad \phi_y^{(0)} = \varphi \phi_x - \varepsilon_z \phi_y \\ \psi_z^{(0)} &= \frac{1}{2} (\phi_x \phi_y' - \phi_y \phi_x') + \frac{1}{R} \varepsilon_z \phi_y \end{aligned} \right\} \quad (42)$$

式 (41) は第 1 近似解を求める際に現われるより  $w_0$ ,  $w_0^*$  に関する方程式と全く同型であり走数  $g^{(0)}$  はより  $w_0^*$  の連続の条件

$$\oint \frac{\partial}{\partial s} \left( \frac{w_0^*}{\rho^*} \right) ds = 0 \quad (43)$$

に式 (41.b) を代入して.

$$g^{(0)} = G \tilde{g}^{(0)} \psi_z^{(0)} , \quad \tilde{g}^{(0)} = \frac{\oint \frac{R^2}{\rho^{*2}} r_s^* ds}{\oint \frac{R^3}{\rho^{*3}} t ds} = \tilde{g}^{(0)} \quad (44)$$

となる。  $w_0^*$  は  $w_0$  の  $n=0$  の値であるから式 (41) の境界条件は式 (33) から

$$\rho^* = R , \quad x^* = y^* = 0 , \quad w_0^* = 0 \quad (45)$$

とする。式 (41) の解は

$$w_0 = -x \phi_y^{(0)} - y \phi_x^{(0)} - \omega \psi_z^{(0)} \quad (46)$$

$\omega$  は式 (23) の走数を取るより固有値である。第 1 近似解と式 (31), (46) で得られた  $U_0$ ,  $V_0$ ,  $W_0$  を式 (12) に代入して  $\mu = 1$  とおくと第 2 近似解は、

$$\left. \begin{aligned} U &= U_0 - y \left( \varphi + \frac{1}{2} \phi_x \phi_y \right) - \frac{1}{2} x \left( \varphi^2 + \phi_y^2 \right) , \quad V = V_0 + x \left( \varphi - \frac{1}{2} \phi_x \phi_y \right) - \frac{1}{2} y \left( \varphi^2 + \phi_x^2 \right) \\ W &= W_0 - x \left( \phi_y + \varphi \phi_x - \varepsilon_z \phi_y \right) - y \left( \phi_x - \varphi \phi_y - \varepsilon_z \phi_x \right) - \omega \left( \psi_z + \frac{1}{2} \phi_x \phi_y' - \frac{1}{2} \phi_y \phi_x' + \frac{1}{R} \varepsilon_z \phi_y \right) \end{aligned} \right\} \quad (47)$$

薄肉中心線に沿うせん断ひずみ  $\gamma_{SO}$  は、式 (7.b) に上式を代入するか、または式 (12), (13) で  $\mu^1$  の項まで採用したものを式 (7.b) に代入して  $\mu = 1$  とおくことによって得られる。結果を示すと

$$\left. \begin{aligned} \gamma_{SO} &= \textcircled{H} (\psi_z + \psi_z^{(0)}) \\ \textcircled{H} &= \frac{1}{1+n/r_1} \cdot \frac{R}{\rho \rho^*} \left\{ 2n + n^2 \left( \frac{1}{r_1} + \frac{1}{r_2} \right) + \frac{R^2}{\rho^{*2}} \cdot \frac{\tilde{g}^{(0)}}{t} \right\} \end{aligned} \right\} \quad (48)$$

ここで薄肉であるから  $n/r_1 \ll 1$ ,  $n/r_2 \ll 1$  として  $n$  の 2 次項は無視できる。式 (47) と  $E_0$  の走数式 (1.C) に代入して整理すると

$$\begin{aligned} \mathcal{E}_0 &= \frac{R}{\rho} \left\{ \mathcal{E}_z - \chi(K_y + \varphi K_x + \frac{1}{2R} \phi_x \phi_y) - \gamma(K_x - \varphi \phi_y' - \frac{1}{2R} \phi_y^2 - \frac{1}{2R} \varphi^2) \right. \\ &\quad \left. - \omega(2\ell_w + \frac{1}{2} \phi_x \phi_y'' - \frac{1}{2} \phi_y'' \phi_x) + \frac{1}{2} (\phi_x^2 + \phi_y^2) \right\} \\ &\quad + \frac{1}{2} \cdot \frac{R^2}{\rho^2} \left\{ \chi^2 (K_y^2 + \psi_z^2) + \gamma^2 (K_x^2 + \psi_z^2) + 2\chi\gamma K_x K_y \right\} \end{aligned} \quad (49)$$

$\approx 2''$   $\mathcal{E}_z$  を含む 2 次項は微小項として無視した。また上式で次のようにおいた。

$$K_y = \phi_y' + \frac{\varphi}{R}, \quad K_x = \phi_x', \quad 2\ell_w = \psi_z' \quad (50)$$

#### (4) 第 3 近似解

第 2 近似解の場合と同様に進行する。式 (20.a), (20.b) の解として

$$U_{(2)} = \phi_y (\mathcal{E}_z \phi_y - \frac{1}{2} \varphi \phi_x) \chi + C_3, \quad U_{(3)} = \phi_x (\mathcal{E}_z \phi_x + \frac{1}{2} \varphi \phi_y) \chi + C_4 \quad (51)$$

$C_3, C_4$  はそれぞれ  $y, z$  および  $x, z$  の関数。式 (20.c) に代入すると式 (28) に相当する式は

$$\frac{\partial C_4}{\partial x} + \frac{\partial C_3}{\partial y} = \frac{1}{2} \varphi (\phi_y^2 - \phi_x^2) + 2\mathcal{E}_z \phi_x \phi_y \quad (52)$$

$x$  軸と  $y$  軸を取り換える、 $z$  軸の向きを逆 ( $\varphi \rightarrow -\varphi$ ) にしても右辺は変わらないから式 (29) と同じ

$$\frac{\partial C_4}{\partial x} = \frac{\partial C_3}{\partial y} = \frac{1}{4} \varphi (\phi_y^2 - \phi_x^2) + \mathcal{E}_z \phi_x \phi_y \quad (53)$$

積分定数は 0 であるからこの解を式 (51) に代入して、

$$\left. \begin{aligned} U_{(2)} &= \phi_y (\mathcal{E}_z \phi_y - \frac{1}{2} \varphi \phi_x) \chi + \left\{ \frac{1}{4} \varphi (\phi_y^2 - \phi_x^2) + \mathcal{E}_z \phi_x \phi_y \right\} y \\ U_{(3)} &= \phi_x (\mathcal{E}_z \phi_x + \frac{1}{2} \varphi \phi_y) \chi + \left\{ \frac{1}{4} \varphi (\phi_y^2 - \phi_x^2) + \mathcal{E}_z \phi_x \phi_y \right\} x \end{aligned} \right\} \quad (54)$$

$W_{(2)}, W_{(3)}$  を求めた手順を式 (34) から式 (46) まで同様であつて結果は

$$W_{(2)} = -\chi \phi_y^{(2)} - \gamma \phi_x^{(2)} - \omega \psi_z^{(2)} \quad (55)$$

$\approx 2''$

$$\left. \begin{aligned} \phi_y^{(2)} &= -\mathcal{E}_z (\varphi \phi_x - \mathcal{E}_z \phi_y) - \frac{1}{2} \phi_y (\phi_x^2 + \phi_y^2 + \varphi^2) \\ \phi_x^{(2)} &= \mathcal{E}_z (\varphi \phi_y + \mathcal{E}_z \phi_x) - \frac{1}{2} \phi_x (\phi_x^2 + \phi_y^2 + \varphi^2) \\ \psi_z^{(2)} &= \frac{1}{2} \psi_z \varphi^2 + \frac{1}{4} (\phi_x^2 + \phi_y^2) \varphi' + \frac{1}{2} (\phi_x \phi_y' + \phi_y \phi_x') \varphi \\ &\quad + \mathcal{E}_z (-\phi_x \phi_y' + \phi_x' \phi_y - \frac{1}{R} \mathcal{E}_z \phi_y) + \frac{1}{2R} \phi_y (\phi_x^2 + \phi_y^2 + \varphi^2) \end{aligned} \right\} \quad (56)$$

第 3 近似解は式 (12) の  $\mu^2$  までの項の和であり、 $\mu = 1$  とおいて

$$\left. \begin{aligned} U &= U_{(0)} + U_{(1)} + U_{(2)}, \quad V = V_{(0)} + V_{(1)} + V_{(2)} \\ W &= W_0 - \chi (\phi_x + \phi_x^{(0)} + \phi_x^{(1)}) - \gamma (\phi_y + \phi_y^{(0)} + \phi_y^{(1)}) - \omega (\psi_z + \psi_z^{(0)} + \psi_z^{(1)}) \end{aligned} \right\} \quad (57)$$

せん断ひずみ  $\gamma_{xy}$  は

$$\gamma_{xy} = H \cdot (\psi_z + \psi_z^{(0)} + \psi_z^{(1)}) \quad (58)$$

#### 4 既往の研究との比較および結論

Fig. 3において、変位前にCの断面の断面が、断面は平面を保持したままでC'の状態に至ったとし、断面に固定された座標系(x<sub>1</sub>, x<sub>2</sub>, x<sub>3</sub>)は(x'<sub>1</sub>, x'<sub>2</sub>, x'<sub>3</sub>)へ移動したとする。原点Oの変位ベクトルを<sub>0</sub>=u<sub>0</sub>·i<sub>1</sub>+v<sub>0</sub>·i<sub>2</sub>+w<sub>0</sub>·i<sub>3</sub>とするとき両座標の関係は

$$\begin{pmatrix} x'_1 \\ x'_2 \\ x'_3 \end{pmatrix} = \begin{pmatrix} r_{11} & r_{12} & r_{13} \\ r_{21} & r_{22} & r_{23} \\ r_{31} & r_{32} & r_{33} \end{pmatrix} \left( \begin{pmatrix} x_1 \\ x_2 \\ x_3 \end{pmatrix} - \begin{pmatrix} u_0 \\ v_0 \\ w_0 \end{pmatrix} \right) \quad (59)$$

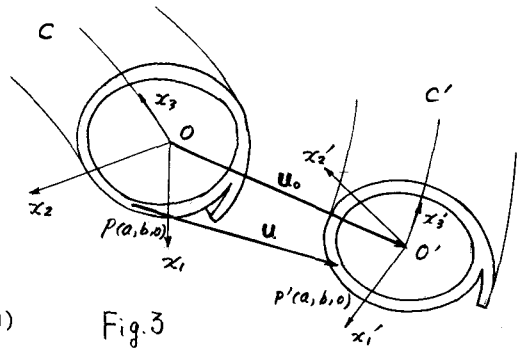


Fig. 3

右のx<sub>i</sub>'軸とx<sub>j</sub>軸とのなす角の余弦、つまり方向余弦である。変位前の断面上の任意点P(a, b, 0)が変位=u*i*<sub>1</sub>+v*i*<sub>2</sub>+w*i*<sub>3</sub>によって点P'へ移動したとするとき断面形不变の仮定から変位後の座標系における座標は(a, b, 0)である。よって式(59)で

$$\{x_1, x_2, x_3\}^T = \{a, b, 0\}^T + \{u, v, w\}^T \text{ および } \{x'_1, x'_2, x'_3\}^T = \{a, b, 0\}^T \quad (60)$$

とみなしてv,wを解き、座標(a, b, 0)を改めて(x, y, 0)とおく

$$\begin{pmatrix} u \\ v \\ w \end{pmatrix} = \begin{pmatrix} u_0 \\ v_0 \\ w_0 \end{pmatrix} + \begin{pmatrix} r_{11}-1 & r_{12} & r_{13} \\ r_{21} & r_{22}-1 & r_{23} \\ r_{31} & r_{32} & r_{33}-1 \end{pmatrix} \cdot \begin{pmatrix} x \\ y \\ 0 \end{pmatrix} = \begin{pmatrix} u_0 \\ v_0 \\ w_0 \end{pmatrix} + \begin{pmatrix} r_{11}-1 & r_{12} \\ r_{12} & r_{22}-1 \\ r_{13} & r_{23} \end{pmatrix} \cdot \begin{pmatrix} x \\ y \end{pmatrix} \quad (61)$$

行列 [r<sub>ij</sub>]は前田・林<sup>4)</sup>による回転行列であり、軸線の変位の2次項まで考慮して上式に代入して

$$\begin{pmatrix} u \\ v \\ w \end{pmatrix} = \begin{pmatrix} u_0 \\ v_0 \\ w_0 \end{pmatrix} + \begin{pmatrix} -(g^2 + \phi_y^2)/2 & -g - \phi_x \phi_y / 2 \\ g - \phi_x \phi_y / 2 & -(g^2 + \phi_x^2)/2 \\ -\phi_y - g \phi_x / 2 & -\phi_x + g \phi_y / 2 \end{pmatrix} \cdot \begin{pmatrix} x \\ y \end{pmatrix} \quad (62)$$

と示した（過程は若干異る）。これら式(47)と比較するとu, vについては一致しているが軸方向変位wについては上式の-gφ<sub>x</sub>/2+gφ<sub>y</sub>/2は式(47)ではそれぞれ-gφ<sub>x</sub>+E<sub>x</sub>φ<sub>y</sub>とgφ<sub>y</sub>+E<sub>x</sub>φ<sub>x</sub>となる。また上式ではより高次の項は当然n=2以上から現われていい。

式(62)の変位場は断面の剛体変位を表わしているが、変位wと(剛体変位)+(47)を考え、仮定(ii), (iii)を適用した場合が事実にはよくえられ、ねじれ率の2次項と(φ<sub>x</sub>φ<sub>y</sub>'-φ<sub>x</sub>'φ<sub>y</sub>)とされるが、式(47)では(φ<sub>x</sub>φ<sub>y</sub>'-φ<sub>x</sub>'φ<sub>y</sub>)/2+E<sub>x</sub>φ<sub>y</sub>/Rとなる。

式(47), (57)を見ると分かるように、復元法による変位場はx<sub>2</sub>, x<sub>3</sub>近似, ……と進めるにつれて、微小変位の場合の軸線の回転成分g, φ<sub>x</sub>, φ<sub>y</sub>およびg', φ<sub>x</sub>', φ<sub>y</sub>'の高次項が次々に現われる。したがってTaylor展開式(12)はパラメータRについての展開であると同時に、これら回転成分についての級数展開であるから、式(12)の収束範囲は

$$g, \phi_x, \phi_y < 1, \quad g', \phi_x', \phi_y' < \frac{1}{R} \quad (63)$$

である。

- 1)西野ほか：一軸曲げと軸力を受ける棒の有限変位理論、工学会論文報告集、1975, vol. 237
- 2)西野ほか：軸力を曲げおよびねじりを受ける薄肉断面部材、同報集、1974, vol. 225
- 3)F.H.Schroeder; Allgemeine Stabilitheorie, Ingenieur-Archiv, 1970, Band 39.
- 4)前田・林：在体骨組構造の有限変位解析、工学会論文報告集、1976, vol. 253

Displacement Distribution over a Cross Section as a Basis of Finite  
Deformation Analysis of a Thin Walled Curved Member

Seizo Usuki\*and Tomonori Kano\*\*

The basis for explaining various types of buckling phenomena and post buckling behavior or large elastic deformations of a thin walled beam is a displacement and stress distribution over the cross section which will be obtained by applying the hypotheses of thin walled beam theory- no distortion of cross section and Euler-Bernoulli hypotheses on shear strains- to three dimensional nonlinear strain-displacement relations.

Let  $x, y, z$  be an orthogonal curvilinear coordinate in which  $x$  and  $y$  axis are fixed on the plane of cross section, and also  $s, n, z$  in which  $s$  is directed tangent to the center line of the thin wall and  $n$  is normal to  $s$ . Then the hypotheses of a thin walled curved member are expressed as

$$\epsilon_x = \epsilon_y = \gamma_{xy} = \gamma_{ns} = 0, \quad \gamma_{sz}^* = R^2 q / G \rho^2 t$$

where  $R$  and  $\rho^*$  denote the radius of curvature at the origin of  $x, y$  coordinate and that at a point on the center line respectively,  $q$  and  $t$  an arbitrary constant and wall thickness respectively and  $G$  the shear modulus. In the case of an open section  $q$  equals to zero. If we apply above hypotheses to the three dimensional nonlinear strain-displacement relations in orthogonal curvilinear coordinates, we would obtain nonlinear partial differential equations with respect to unknown displacement distributions  $u, v, w$  and  $w^*$  describing displacement at a point on the center line of the thin wall. These equations system, however, could not be solved analytically except for such a simple case as the elastica.

The basic idea to overcome this difficulty is in the following: Assuming a small strain compared to unity, the orders of nonlinear terms in strain-displacement relations are much higher than those of linear terms. Then multiply all the nonlinear terms by a fictitious small parameter  $\mu$  ( $0 \leq \mu \leq 1$ ) and let the sum of linear terms and nonlinear terms multiplied by parameter  $\mu$  be new strain-displacement relations. Then we can use the perturbation method for solving the nonlinear partial differential equations system described above.

As a result, The displacement distributions over the cross section are expressed in first, second or much higher order terms of displacements at the origin in  $x, y$  coordinate and of rotations about  $x, y$  and curved  $z$  axis. The nonzero strain components  $\epsilon_x$  and  $\gamma_{sz}$  are also expressed by nonlinear curvatures about  $x$  and  $y$  axis and nonlinear rate of twist about  $z$  axis.

The displacement and strain distributions obtained in this paper will converge to exact solutions in the limit that the angles of rotations are smaller than unity, since they are expressed by Taylor expansions on the rotations about three axes  $x, y$  and  $z$  in the case of linear problem.

\* Associate Professor, Department of Civil Engineering, Akita University.

\*\* Professor, Department of Civil Engineering, Akita University.